

**ОПТИЧЕСКИЕ МЕХАНИЗМЫ  
ЭЛЕКТРООПТИЧЕСКИХ ЯВЛЕНИЙ  
В ДИСПЕРСНЫХ СИСТЕМАХ. ОСЛАБЛЕНИЕ СВЕТА  
ПРОИЗВОЛЬНО ОРИЕНТИРОВАННЫМ СФЕРОИДОМ**

*А. И. Сирота и Н. Г. Хлебцов*

На основе теорий Релея—Ганса и ван де Хюлста рассчитано сечение ослабления света для сфероида в зависимости от его ориентации относительно направления распространения и плоскости поляризации падающего света. Анализируется влияние геометрических и оптических параметров сфероида на характер этой зависимости.

1. Электрооптический эффект в дисперсных системах обусловлен упорядоченным движением частиц в электрическом поле вследствие наличия у них дипольного момента, а также особенностями рассеяния и поглощения света несферическими частицами. Поэтому теоретическое описание электрооптического эффекта в дисперсных системах предполагает выяснение закономерностей движения частиц в переменных электрических полях и закономерностей ослабления света системой упорядоченно ориентированных частиц несферической формы.

В работах [1-3] механика движения частиц была качественно рассмотрена для модулирующего поля прямоугольных импульсов ( $\Pi_1$ -поля) и количественно для вращающегося модулирующего поля ( $B$ -поля). Оптическая сторона проблемы обсуждалась в [1-3] лишь качественно, причем достаточно полного объяснения наблюдавшихся явлений (например, четырех типов модуляционных кривых) дано не было. Построение теории оптических механизмов электрооптических эффектов в дисперсных системах затруднено сложностью решения дифракционной задачи для несферических частиц. В случае оптически «мягких» частиц с относительным показателем преломления, близким к единице, задача о рассеянии решалась в ряде работ [4-9], причем в основном в них рассматривалось влияние формы на индикатрису и эффективный коэффициент рассеяния системы хаотически ориентированных частиц. В работах [10] рассчитывались характеристики света, рассеянного ориентированными частицами.

Однако для описания оптических механизмов электрооптического эффекта в дисперсных системах необходим более детальный анализ ослабления света отдельной частицей в зависимости от ее ориентации, геометрических и оптических параметров. Это и является целью настоящей работы.

2. В дальнейшем будем рассматривать модельную изотропную дисперсную частицу, имеющую форму вытянутого сфероида с полуосями  $a$  и  $b$  ( $a > b$ ). Пусть на сфероид падает линейно поляризованный монохроматический свет под углом  $\alpha$  к его большой оси (рис. 1). Ориентация частицы по отношению к плоскости поляризации падающего света (вектору  $E_0$ ) задается углом  $\gamma$ . В общем случае сечение ослабления света частицей зависит от углов  $\alpha$  и  $\gamma$ . Если ввести в рассмотрение сечения  $\sigma_1$  и  $\sigma_2$  для ослабления света с вектором  $E_0$ , соответственно параллельным

или перпендикулярным плоскости  $S$  (рис. 1), то зависимость полного сечения от  $\gamma$  становится достаточно простой

$$\sigma = \sigma_1(\alpha) \cos^2 \gamma + \sigma_1(\alpha) \sin^2 \gamma. \quad (1)$$

Поэтому в дальнейшем мы остановимся на рассмотрении зависимости сечений  $\sigma_1$  и  $\sigma_2$  от угла  $\alpha$ . Соответствующие расчеты проведем на основе приближенных методов, разработанных для «мягких» частиц (теории Релея—Ганса и ван де Хюлста [5, 6]). Область применимости всех результатов приближенно соответствует областям применимости этих методов для сферических частиц [5, 6].

3. Ослабление света частицей складывается из поглощения и рассеяния. В приближении Релея—Ганса сечение поглощения пропорционально объему частицы  $v$  [4, 6]

$$\sigma_{\Pi} = -kv \operatorname{Im}(m^2 - 1), \quad (2)$$

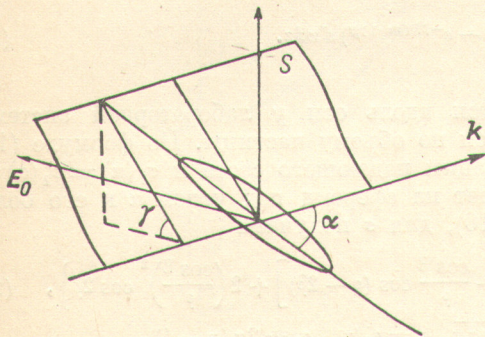


Рис. 1.

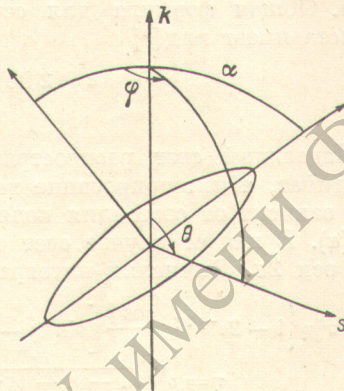


Рис. 2.

где  $k = 2\pi/\lambda$ . Следовательно, в этом приближении электрооптический эффект не связан с поглощением, так как  $\sigma_{\Pi}$  не зависит от углов  $\alpha$  и  $\gamma$  (напомним, что вещество частиц предполагается оптически изотропным).

Сечение рассеяния в приближении Релея—Ганса находится интегрированием интенсивности рассеяния по всем направлениям, определенным углами  $\theta$  и  $\varphi$  (рис. 2). Используя результаты работы [7], запишем формулу для рассеянного поля в виде

$$E = \mu v \frac{k^2}{r} e^{-ikr} R(\theta, \varphi, \alpha) E_{0\perp}, \quad (3)$$

где

$$\mu = 3(m^2 - 1)/4\pi(m^2 + 2), \quad E_{0\perp} = E_0 - s(sE_0), \quad (4)$$

$m$  — относительный показатель преломления частицы,  $r$  — расстояние от центра частицы до точки наблюдения,  $s$  — единичный вектор в направлении рассеяния. Функция  $R(\theta, \varphi, \alpha)$  имеет вид

$$R = 3(\sin q - q \cos q)/q^3, \quad (5)$$

где

$$q = 2kb \sin \frac{\theta}{2} \sqrt{1 + (p^2 - 1) x^2}, \quad (6)$$

$p = a/b$ ,  $x$  — направляющий косинус угла между большой осью частицы и нормалью к биссектрисе угла рассеяния  $\theta$  в плоскости рассеяния. Для выбранной нами геометрии рассеяния (рис. 2)

$$x = \cos \alpha \sin \frac{\theta}{2} + \sin \alpha \cos \frac{\theta}{2} \cos \varphi. \quad (7)$$

Плоскость, проходящую через ось  $2a$  сфероида, и вектор  $k$  будем называть плоскостью отсчета. Рассмотрим два случая, когда вектор  $E_0$  параллель-

лен плоскости отсчета или ей перпендикулярен. Для каждого из этих случаев можно получить следующие соотношения для сечений рассеяния:

$$\sigma_{Ri} = \pi r_0^2 |\mu|^2 \Phi_i(\alpha, x, p), \quad (8)$$

$$\Phi_i(\alpha, x, p) = \frac{32\pi}{9} x^4 \int_0^\pi d\varphi \int_0^\pi \sin \theta \left[ 1 - \sin^2 \theta \left\{ \frac{\cos^2 \varphi}{\sin^2 \varphi} \right\} \right] R^2 d\theta, \quad (9)$$

где  $i=1, 2$ ,  $x = kr_0$ ,  $r_0 = \sqrt[3]{3v/4\pi}$  — радиус сферы эквивалентного объема. При  $i=1$  в (9) следует взять  $\cos^2 \varphi$ , а при  $i=2$  —  $\sin^2 \varphi$ . Из соотношений (8) следует, что полное количество энергии, рассеянной сфероидом, зависит от его ориентации относительно плоскости поляризации падающего света ( $\sigma_1 \neq \sigma_2$ ) и относительно направления распространения света [ $\sigma_i = \sigma_i(\alpha)$ ]. Ниже приведены результаты расчета функций  $\Phi_i$  по формулам (9).

4. Общая формула для сечения ослабления в приближении ван де Хюлста имеет вид [8]

$$\sigma = 2 \operatorname{Re} \int_0^v (1 - e^{-ik(m-1)y}) dx dz. \quad (10)$$

Падающий свет распространяется вдоль оси  $y$  лабораторной системы координат, а интегрирование ведется по объему частицы. По формуле (10)  $\sigma$  не зависит от состояния поляризации падающего света и  $\sigma_1(\alpha) = \sigma_2(\alpha) = \sigma(\alpha)$ . В нашем случае свет падает на сфероид под углом  $\alpha$  к его большой оси  $2a$ . Вычисляя интеграл (10), для  $\sigma$  получаем

$$\sigma = 2\pi r_0^2 \eta \left\{ 1 - 2e^{-\rho \operatorname{tg} \beta} \frac{\cos \beta}{\rho} \left[ \sin(\rho - \beta) + \frac{\cos \beta}{\rho} \cos(\rho - 2\beta) \right] + 2 \left( \frac{\cos \beta}{\rho} \right)^2 \cos 2\beta \right\}, \quad (11)$$

$$\eta = p^{1/3} \sqrt{1 - (1 - p^{-2}) \cos^2 \alpha}, \quad \rho = \rho_0 / \eta, \quad \rho_0 = 2x(n-1),$$

$$\operatorname{tg} \beta = n' / (n-1), \quad m = n - in'.$$

Формула (11) аналогична известной формуле для шара [5] с радиусом  $r_0/\eta$ .

В интеграл (10) входит множитель  $e^{-\rho \operatorname{tg} \beta}$ , характеризующий уменьшение амплитуды поля вследствие поглощения. Доля энергии, поглощенной в частице, пропорциональна  $1 - e^{-2\rho \operatorname{tg} \beta}$ . Интегрируя по объему частицы, найдем сечение поглощения

$$\sigma_{\Pi} = \pi r_0^2 \eta [1 + ((1 + 2\rho \operatorname{tg} \beta) e^{-2\rho \operatorname{tg} \beta} - 1) / (2\rho \operatorname{tg} \beta)^2]. \quad (12)$$

Результаты расчета  $\sigma$  и  $\sigma_{\Pi}$  при различных  $\rho_0$ ,  $p$ ,  $\operatorname{tg} \beta$ ,  $\alpha$  приведены ниже.

5. В приближении Релея—Ганса сечения рассеяния  $\sigma_{Ri}$  выражаются через функции  $\Phi_i(\alpha, x, p)$ , которые рассчитывали численно при изменении  $\alpha$  от 0 до 90°,  $x$  от 0.2 до 2 через 0.2 и от 2 до 10 через 1 и  $p$  от 1 до 5 через 1. Графики зависимости  $\Phi_i(\alpha, x, p)$  от  $\alpha$  при некоторых  $x$  и  $p$  представлены на рис. 3.

Для  $x \ll 1$  значения функций  $\Phi_1$  и  $\Phi_2$  близки и не зависят от  $\alpha$ , поскольку для релеевских частиц с показателем преломления, близким к единице, сечение рассеяния пропорционально квадрату объема [5]. При  $x < 1$  для всех  $p \leq 5$   $\Phi_i$  есть монотонно возрастающие функции  $\alpha$ . При малых  $ka$  асимптотические выражения для  $\Phi_i$  имеют вид

$$\Phi_i = \frac{8\pi^2}{27} p^{1/3} z^4 \left[ 1 - \frac{z^2}{10} - \frac{z^2(p^2 - 1)}{100} (7 - \beta_i \sin^2 \alpha) \right], \quad (13)$$

где  $z = 2kb$ ,  $\beta_i = 6 + 2\delta_i$ ,  $i=1, 2$ ,  $\delta_i$  — символ Кронекера. Если  $x \geq 1$ , то монотонная зависимость  $\Phi_i$  от  $\alpha$  нарушается сначала для  $\Phi_2$ , а затем с увеличением  $x$  и для  $\Phi_1$  причем тем раньше, чем больше  $p$ . С увеличением  $x$  максимумы кривых  $\Phi_1$  и  $\Phi_2$  смещаются в область малых  $\alpha$ . Начиная с некоторого значения  $x$  кривые становятся монотонно убывающими, причем тем раньше, чем меньше  $p$ . Отметим, что с увеличением  $x$  анизотропия рассеяния  $\Delta\Phi = \Phi_1 - \Phi_2$  стремится к нулю. Указанные закономерности

поведения функций  $\Phi_i$  при больших  $x$  находятся в соответствии с тем, что при  $x \gg 1$  результаты теории Релея—Ганса должны совпадать с результатами теории ван де Хюлста при  $\rho \ll 1$  [5]. Из формул (12), (13) при  $\rho \ll 1$  ( $\rho \ll 1$ ,  $\operatorname{tg} \beta \ll 1$  для поглощающих частиц) получаем сечение рассеяния

$$\sigma_R = \pi r_0^2 |\rho|^2 F(\alpha, x, p), \quad (14)$$

$$F(\alpha, x, p) = \frac{8\pi^2 x^2 p^{2/3}}{\sqrt{1 + (p^2 - 1) \sin^2 \alpha}}. \quad (15)$$

Зависимость  $F(\alpha, x, p)$ , а также численные значения  $F$ , даваемые формулой (15), согласуются с результатами расчетов  $\Phi_i(\alpha, x, p)$  при  $x \gg 1$ . Таким образом, при  $x \gg 1$   $\Phi_1 = \Phi_2 = F(\alpha, x, p)$ .

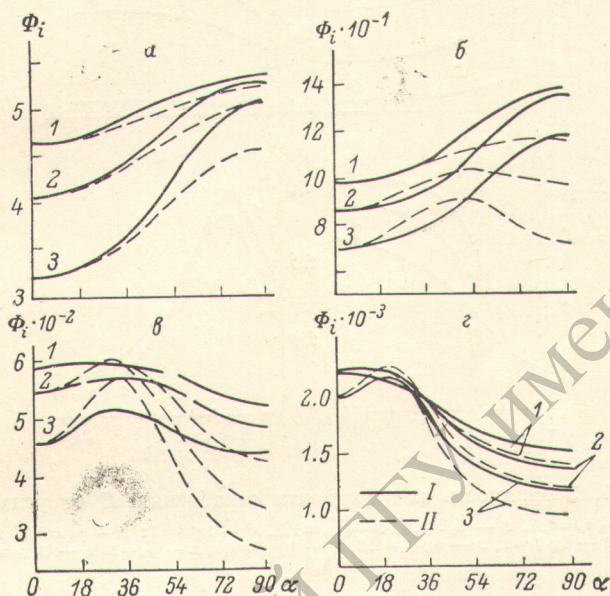


Рис. 3. Зависимость функции  $\Phi_1$  (I) и  $\Phi_2$  (II) от угла  $\alpha$ .

$a - x=0.6$ ,  $b - x=1.6$ ,  $g - x=3$ ,  $z - x=6$ .  $1 - p=2$ ,  $2 - p=3$ ,  $3 - p=5$ .

Расчеты показали, что для всех  $x$  при  $\alpha$ , близких к  $90^\circ$ , увеличение фактора формы приводит к уменьшению сечений рассеяния и к возрастанию анизотропии  $\Delta\Phi$ . Для различных  $x$  и  $p$  при некоторых углах  $\alpha$  наблюдается явление, аналогичное эффекту Герца [5] ( $\Phi_1 = \Phi_2$ ).

Рассмотрим результаты расчета коэффициентов ослабления  $K = \sigma / \pi r_0^2$  и поглощения  $K_{II} = \sigma_{II} / \pi r_0^2$  по формулам (11), (12). Геометрические и оптические параметры сфероида определялись величинами  $\rho_0$ ,  $\operatorname{tg} \beta$ ,  $p$ . Все расчеты проводились при  $p=3$ , что приблизительно соответствует форме бактериальных частиц, исследовавшихся в наших экспериментах и в работах [1-3]. Для различных значений  $\rho_0$  и  $\operatorname{tg} \beta$  рассчитывали коэффициенты ослабления, поглощения и рассеяния при изменении  $\alpha$  от 0 до  $90^\circ$ . Можно строго показать, что при любых  $\rho_0$  и  $\operatorname{tg} \beta$   $K_{II}$  есть монотонно возрастающая функция  $\alpha$ , причем при  $\rho \operatorname{tg} \beta \rightarrow \infty$   $K_{II} \rightarrow \eta$ . Поэтому ниже мы рассмотрим только результаты, полученные для коэффициента ослабления, часть из которых представлена на рис. 4. При этом обратимся к графикам зависимости коэффициента ослабления  $Q$  от  $\rho_0 = 2kr_0(n-1)$  для сферической частицы радиуса  $r_0$ , приведенными в [5]. В формулах (11), (12) параметр  $\rho$  эквивалентен параметру  $\rho_0$  для шара. При изменении  $\alpha$  от 0 до  $90^\circ$   $\rho$  изменяется от  $\rho_{\max} = 2ka(n-1)$  до  $\rho_{\min} = 2kb(n-1)$ , что вызывает изменение  $K$  в соответствии с графиками для  $Q$ , приведенными в [5]. Вместе с тем формулы (11), (12) отличаются от формул для шара множителем  $\eta$ , стоящим

перед скобками и учитывающим изменение геометрического сечения частицы, «подставляемого» свету (площади проекции частицы на плоскость, перпендикулярную направлению распространения света). При изменении  $\alpha$  от 0 до  $90^\circ$   $\pi r_0^2 \eta$  изменяется от  $S_{\min} = \pi b^2$  до  $S_{\max} = \pi ab$ . Таким образом, результирующее изменение  $K$  обусловлено: 1) увеличением площади проекции частицы при увеличении  $\alpha$ ; 2) уменьшением  $\rho$  при увеличении  $\alpha$ . При этом изменение  $K = \eta Q(\rho)$  определяется через коэффициент ослабления шара  $Q(\rho)$  [5] с эквивалентным параметром  $\rho_0 = \rho$ .

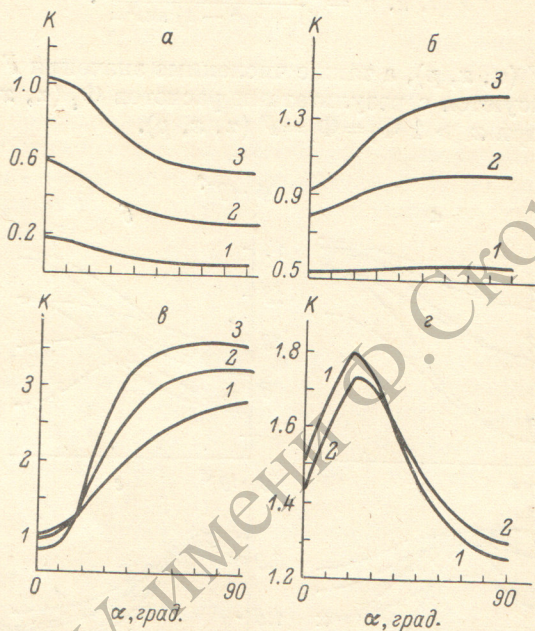


Рис. 4. Зависимость коэффициента ослабления  $K$  от угла  $\alpha$ .

$\alpha - \text{tg } \beta = 0.05$ : 1 —  $\rho_0 = 0.4$ , 2 —  $\rho_0 = 0.8$ , 3 —  $\rho_0 = 1.2$ , б —  $\text{tg } \beta = 1$ : 1 —  $\rho_0 = 0.4$ , 2 —  $\rho_0 = 0.8$ , 3 —  $\rho_0 = 1.2$ ; в —  $\rho_0 = 4$ : 1 —  $\text{tg } \beta = 1$ , 2 —  $\text{tg } \beta = 0.8$ , 3 —  $\text{tg } \beta = 0.4$ ; г —  $\rho_0 = 2$ : 1 —  $\text{tg } \beta = 0.01$ , 2 —  $\text{tg } \beta = 0.05$ .

В дальнейшем для краткости будем называть эти зависимости первой и второй соответственно. Можно выделить несколько характерных областей  $\rho_0$  и  $\text{tg } \beta$ , в которых функция  $K(\alpha)$  имеет монотонный характер.

А.  $\rho_0 \leq 1.5$ ,  $\text{tg } \beta \leq 0.1$ . В этой области доминирует вторая зависимость, вследствие чего с ростом  $\alpha$   $K$  монотонно убывает (рис. 3, а) в соответствии с графиком  $Q$  для шара работы [5]. При  $\rho_0 \rightarrow 0$  и  $\text{tg } \beta \neq 0$   $K$  пропорционален объему частицы и не зависит от  $\alpha$  ( $K = K_{\Pi}$ ). Б.  $\text{tg } \beta \geq 0.6 \div 1$ . В этой области поглощение сильно сглаживает дифракционные явления. Поэтому функция  $Q(\rho_0)$  для шара становится монотонной [5]. В целом доминирующей будет первая зависимость и  $K$  монотонно возрастает при увеличении  $\alpha$  (рис. 3, б). В этой области увеличение поглощения приводит к увеличению как абсолютной величины  $K$ , так и скорости его изменения. В.  $\rho_0 \geq 4$ . При таких больших  $\rho_0$  коэффициент ослабления сильнее зависит от  $\eta$ , нежели от  $\rho$ . Поэтому доминирует первая зависимость и  $K$  монотонно возрастает с ростом  $\alpha$ . Типичные кривые приведены на рис. 4, б. Увеличение поглощения приводит к уменьшению  $K$  и скорости его изменения. При  $\rho_0 \rightarrow \infty$   $Q \rightarrow 2$ , поэтому  $K = 2\eta$ , т. е. изменяется пропорционально площади проекции частицы.

Для всех других значений  $\rho_0$  и  $\text{tg } \beta$ , не попадающих в области А, Б, В, зависимости  $K$  от  $\alpha$  будут немонотонной, так как первая и вторая зависимости работают в противофазе и ни одна из них не доминирует. Типичные кривые для этого случая приведены на рис. 4, г. В заключение отметим, что и при факторе формы  $p \neq 3$  можно, очевидно, выделить области параметров  $\rho_0$  и  $\text{tg } \beta$  (аналогичные областям А, Б, В), в которых зависимость  $K$  от  $\alpha$  будет монотонной.

## Литература

- [1] Н. А. Толстой, А. А. Спартаков, Г. И. Хилько. Коллоидн. ж., 22, 705, 1960.
- [2] Н. А. Толстой, А. А. Спартаков. Коллоидн. ж., 28, 580, 1966.
- [3] Н. А. Толстой, А. А. Спартаков, А. А. Трусов. В сб.: Исследования в области поверхностных сил, 56. «Наука», М., 1967.
- [4] К. С. Шифрин. Рассеяние света в мутной среде. ГИТТЛ, М.—Л., 1951.
- [5] Г. ван де Хюлст. Рассеяние света малыми частицами. ИЛ, М., 1961.
- [6] М. Керкер. The scattering of light and other electromagnetic radiation. Acad. Press, New York, 1969.
- [7] А. В. Шатилов. Опт. и спектр., 9, 86, 1960; 9, 231, 1960.
- [8] В. И. Сухачева, С. Д. Творогов. Изв. АН СССР, сер. ФАО, 9, 1320, 1973.
- [9] F. D. Bryant, P. Latimer. J. Coll. Interface Sci., 30, 291, 1969.
- [10] J.-C. Raveu. Europ. Polym. J., 8, 937, 1972; 9, 47, 1973; 9, 57, 1973.

Поступило в Редакцию 30 марта 1979 г.  
В окончательной редакции 27 августа 1979 г.

РЕПОЗИТОРИЙ ГГУ имени Ф. СКОРИНЫ